

Figura 52.- Fotomicrografía electrónica de barrido del desarrollo del sistema de ramificación de la UIF de *Urechis pinnicincta*. A, meristema apical en estado vegetativo. B, alargamiento del meristema apical por arriba de la última hoja iniciada durante la transición a floración. C, iniciación de ramas primarias a partir del meristema apical. D, diferenciación de las ramas de primer orden e iniciación de ramas de segundo orden sobre las primeras. E, iniciación de la florescencia principal y coflorescencias. F, iniciación de los órganos florales. Referencias: Br, bráctea; Cof, coflorescencia; EP, eje principal; FP, florescencia principal; H, primordio de hoja; MA, meristema apical; R', rama de primer orden; R'', rama de segundo orden. Barra = 100 μ m.

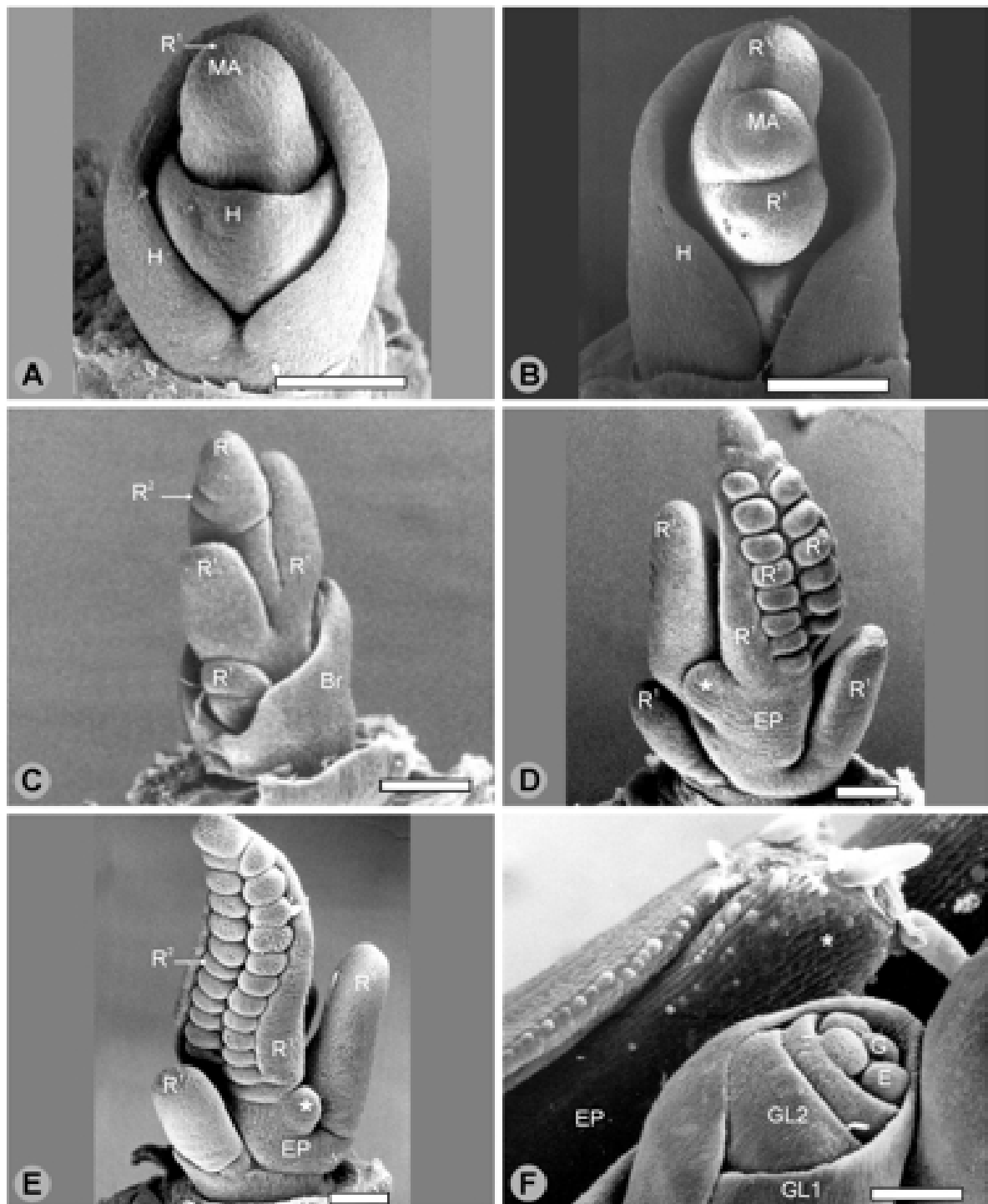


Figura 53.- Fotomicrografía electrónica de barrido del desarrollo del sistema de ramificación de la UIF de *Urechloa plantaginea*. A, alargamiento del meristema apical por arriba de la última hoja iniciada durante la transición a floración e iniciación de la primera rama de la UIF. B, iniciación de nuevas ramas de primer orden en sentido basipeto. C, alargamiento de ramas primarias e iniciación de ramas secundarias a partir de las primarias. D, iniciación de nuevas ramas de segundo orden sobre la rama más distal de la UIF. E, iniciación de las ramas secundarias. F, eje principal estéril y detalle de una espiguilla. Referencias: Br, bráctea; E, estambre; EP, eje principal; G, gineceo; GL1, gluma inferior; GL2, gluma superior; H, primordio de hoja; MA, meristema apical; R¹, rama de primer orden; R², rama de segundo orden. El asterisco blanco representa la ausencia de florescencia principal sobre el extremo distal del eje principal. Barra = 100 μ m.

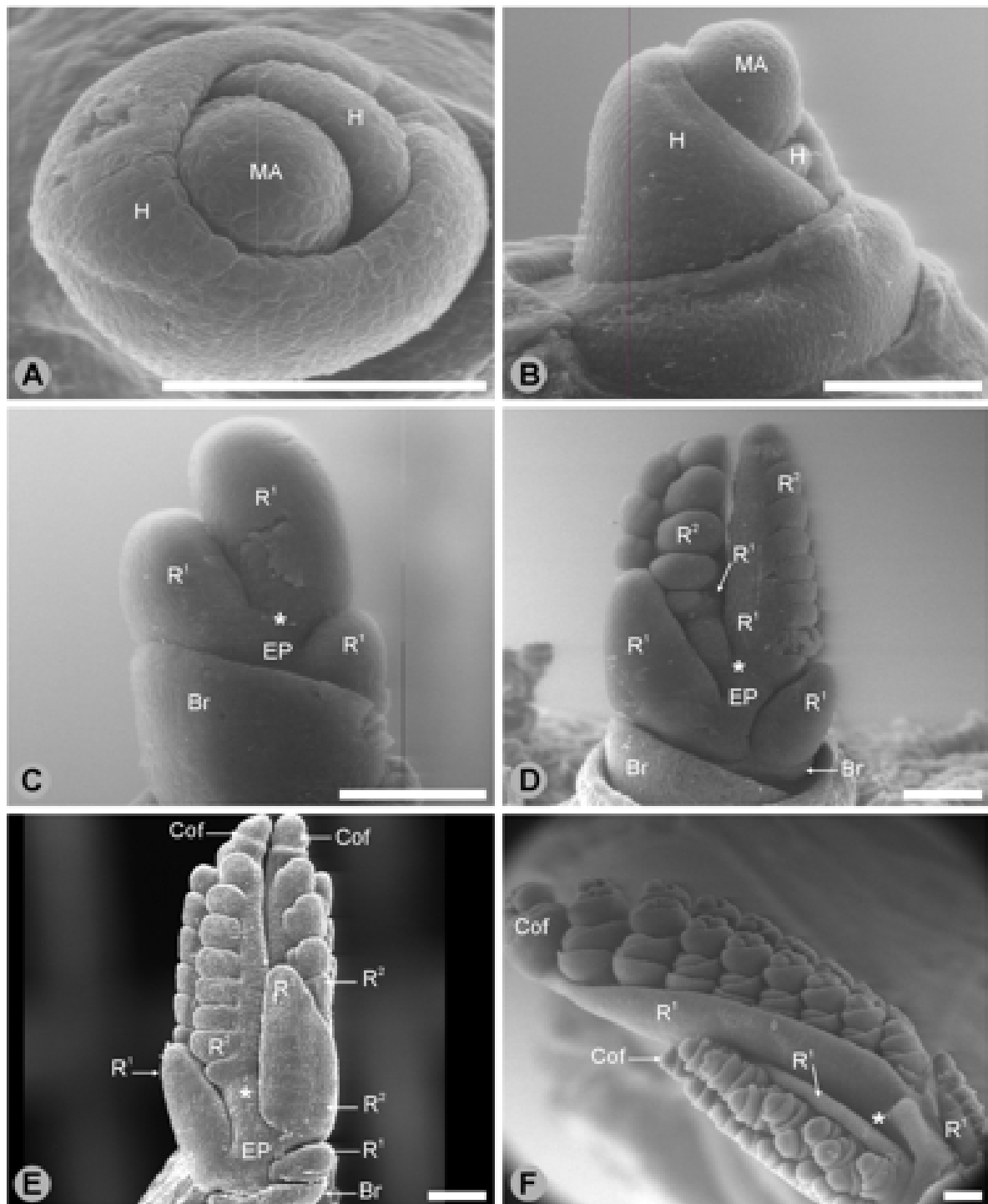


Figura 54.- Fotomicrografía electrónica de barrido del desarrollo del sistema de ramificación de la UIF de *Urechloa platyphylla*. A, meristema apical en estado vegetativo. B, alargamiento del meristema apical por arriba de la última hoja iniciada durante la transición a floración. C, iniciación de ramas de primer orden, posición terminal de la rama más distal de la UIF y terminación estéril del eje principal. D, iniciación de las ramas secundarias sobre las ramas primarias. E, iniciación de las coloflorescencias. F, iniciación de los órganos florales. Referencias: Br, bráctea; Cof, coloflorescencia; EP, eje principal; H, primordio de hoja; MA, meristema apical; R¹, rama de primer orden; R², rama de segundo orden; R³, rama de tercer orden. El asterisco blanco representa la ausencia de florescencia principal sobre el extremo distal del eje principal. Barra = 100 μ m.

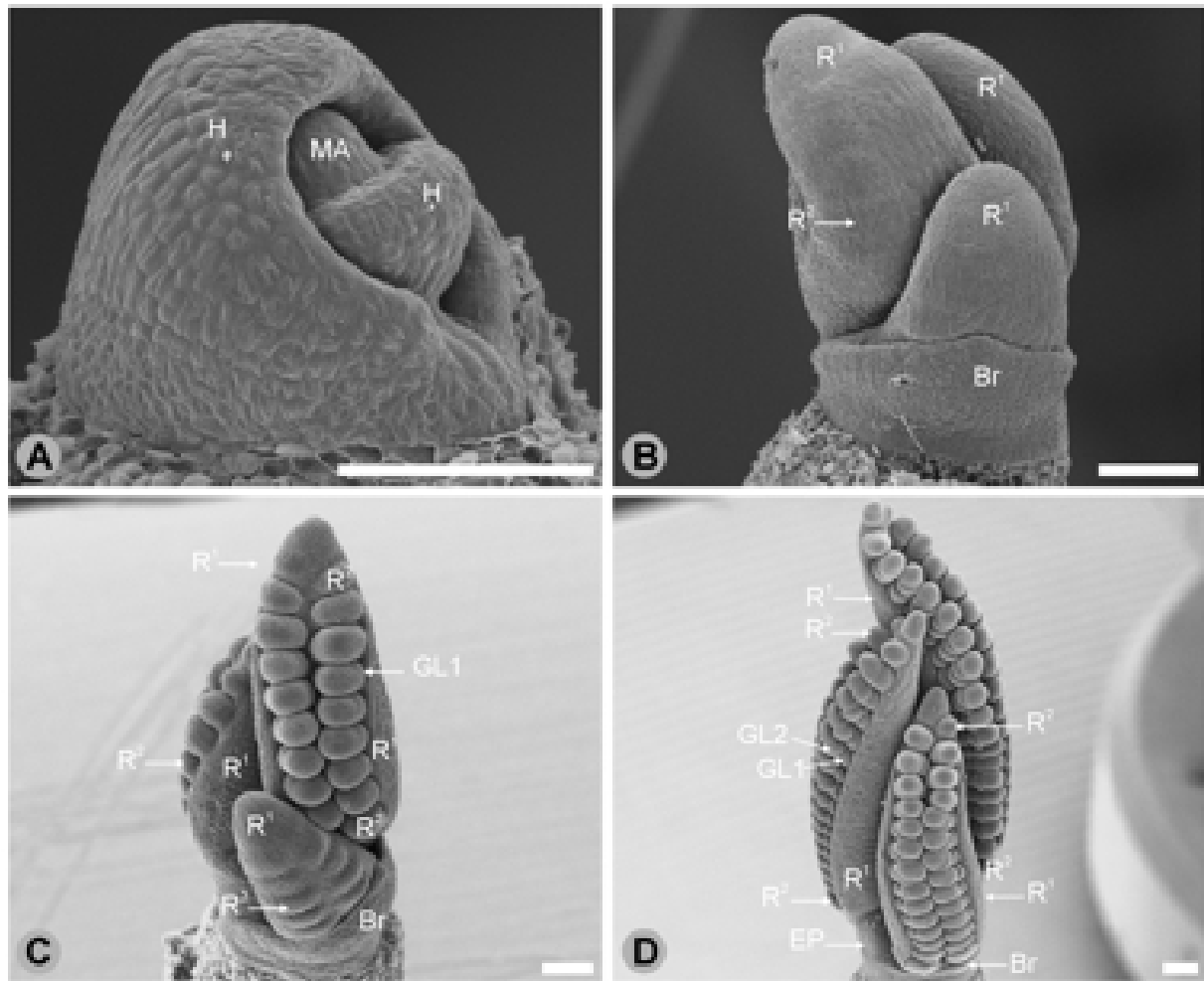


Figura 55.- Fotomicrografía electrónica de barrido del desarrollo del sistema de ramificación de la UIF de *Urochloa ruziziensis*. A, meristema apical en estado vegetativo. B, iniciación de ramas de primer orden y ramas de segundo orden sobre la rama primaria más distal de la UIF. C, iniciación de ramas de segundo orden sobre las ramas de primer orden, posición terminal de la rama más distal de la UIF. D, iniciación de las glumas de las espiguillas. Referencias: Br, bráctea; EP, eje principal; GL1, gluma inferior; GL2, gluma superior; H, primordio de hoja; MA, meristema apical; R¹, rama de primer orden; R², rama de segundo orden. Barra = 100 μ m.

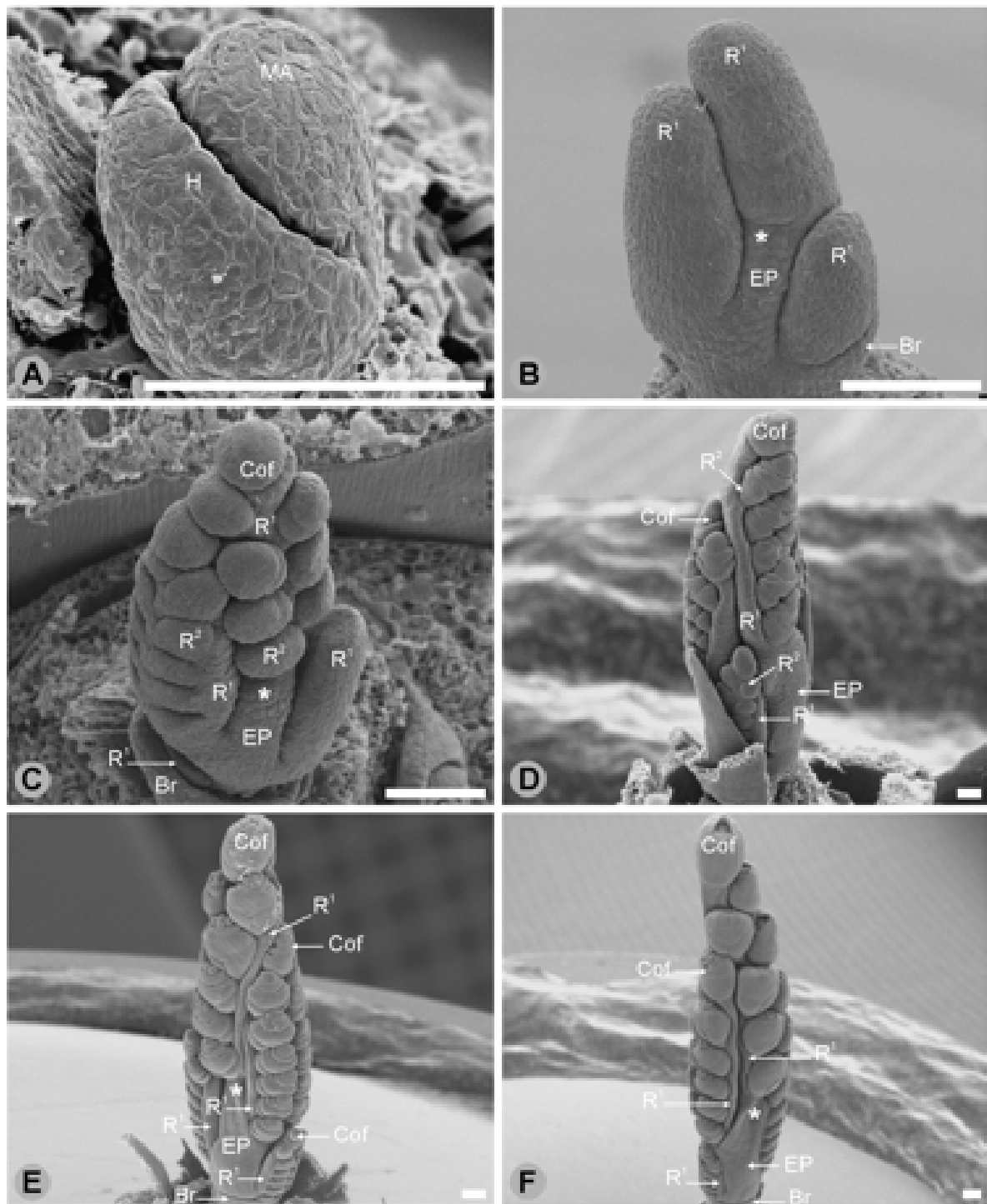


Figura 56.- Fotomicrografía electrónica de barrido del desarrollo del sistema de ramificación de la UIF de *Urechloa distachya*. A, meristema apical en estado vegetativo. B, iniciación de las ramas primarias, terminación estéril del eje principal y posición terminal de la rama de primer orden más distal. C, iniciación de las ramas de segundo orden sobre las de primer orden e iniciación de las coflorescencias. D, iniciación de las espiguillas. E, iniciación de los órganos florales. F, diferenciación de las brácteas que conforman la espiguilla. **Referencias:** Br, bráctea; Cof, coflorescencia; EP, eje principal; H, primordio de hoja; MA, meristema apical; R¹, rama de primer orden; R², rama de segundo orden. El asterisco blanco representa la ausencia de florescencia principal sobre el extremo distal del eje principal. Barra = 100 µm.

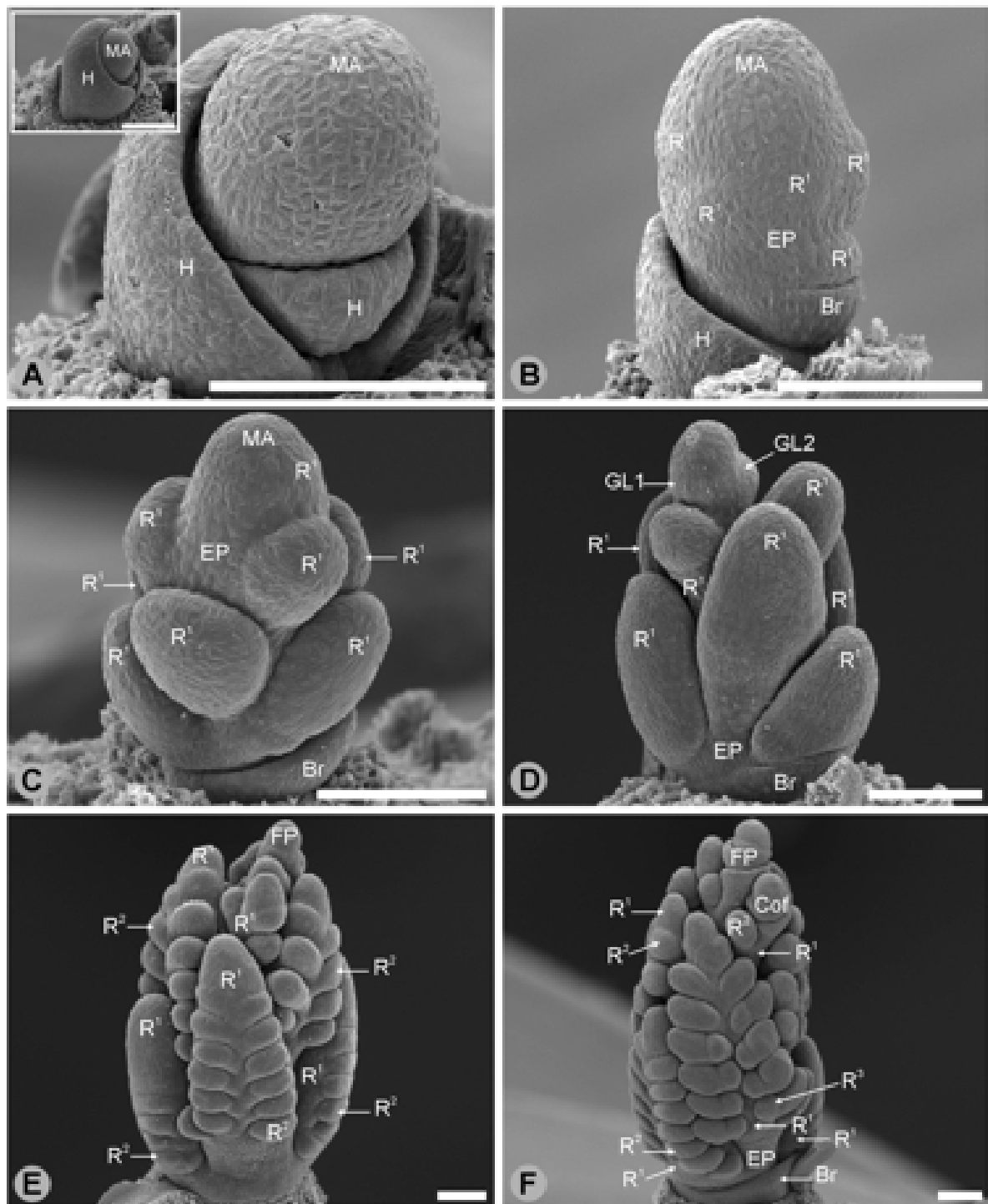


Figura 57.- Fotomicrografía electrónica de barrido del desarrollo del sistema de ramificación de la UIF de *Urechis xantholeuca*. A, alargamiento del meristema apical por arriba de la última hoja iniciada durante la transición a floración (en el recuadro se muestra el meristema apical en estado vegetativo). B, iniciación de las ramas de primer orden a partir de la actividad meristemática apical. C, iniciación de nuevas ramas primarias a partir del meristema apical y comienzo de la diferenciación de las ramas de primer orden más proximales de la UIF. D, inicio de la florescencia principal sobre el extremo distal del eje principal. E, iniciación de las ramas secundarias. F, iniciación de las colflorescencias y ramas de tercer orden sobre las de segundo orden. **Referencias:** Br, bráctea; Cof, colflorescencia; EP, eje principal; FP, florescencia principal; GL1, gluma inferior; GL2, gluma superior; H, primordio de hoja; MA, meristema apical; R¹, rama de primer orden; R², rama de segundo orden; R³, rama de tercer orden. Barra = 100 μ m.

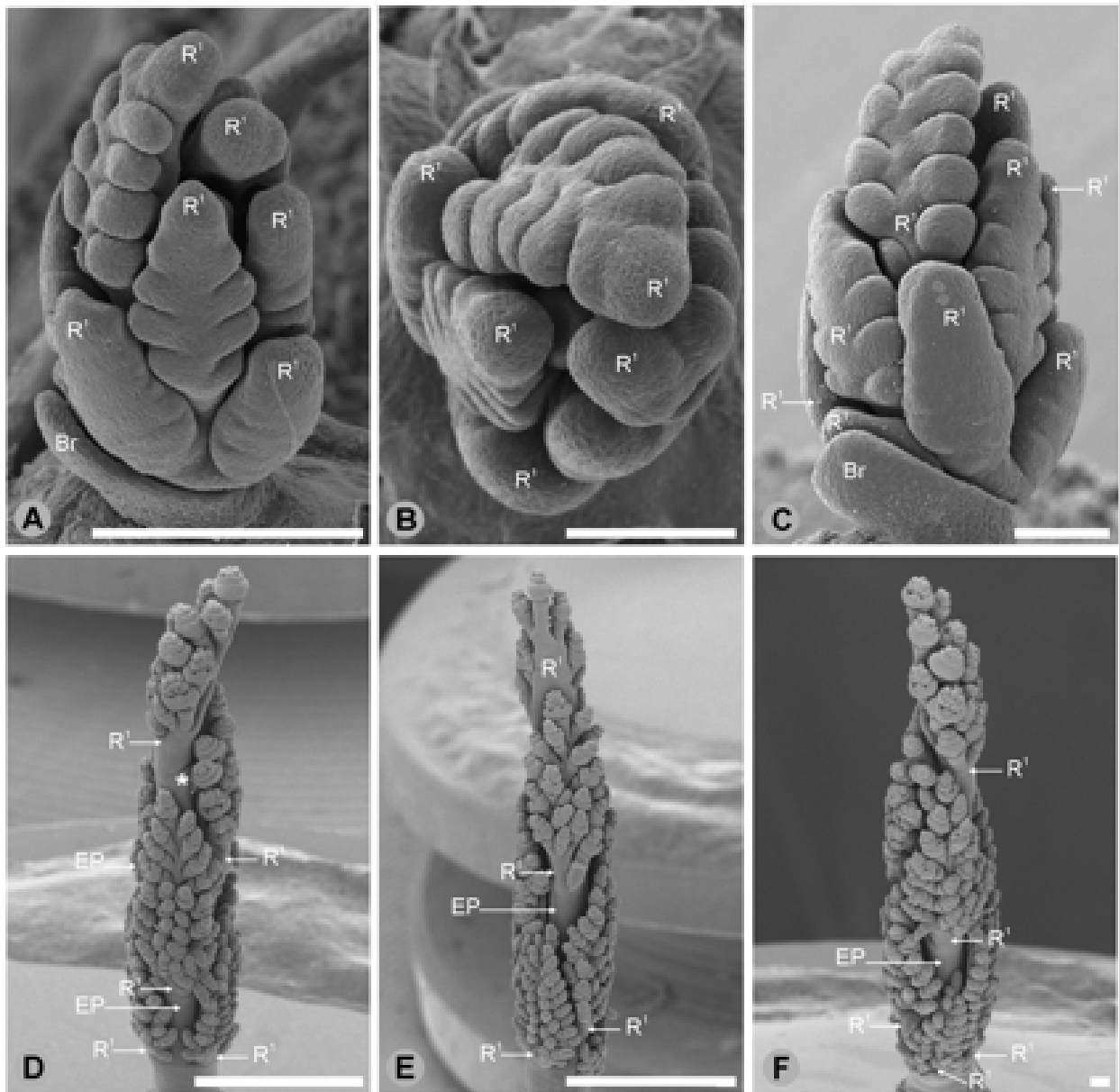


Figura 58.- Fotomicrografía electrónica de barrido de la simetría radiada de la UIF de *Eriochlor montevidensis*. A-C, tres vistas diferentes de la misma UIF en estados tempranos del desarrollo del sistema de ramificación de la UIF. D-F, tres vistas diferentes de la misma UIF en la etapa de desarrollo floral. Referencias: Br, bráctea; EP, eje principal; R', rama de primer orden. El asterisco blanco representa la ausencia de florescencia principal sobre el extremo distal del eje principal. Barra = 100 μ m.

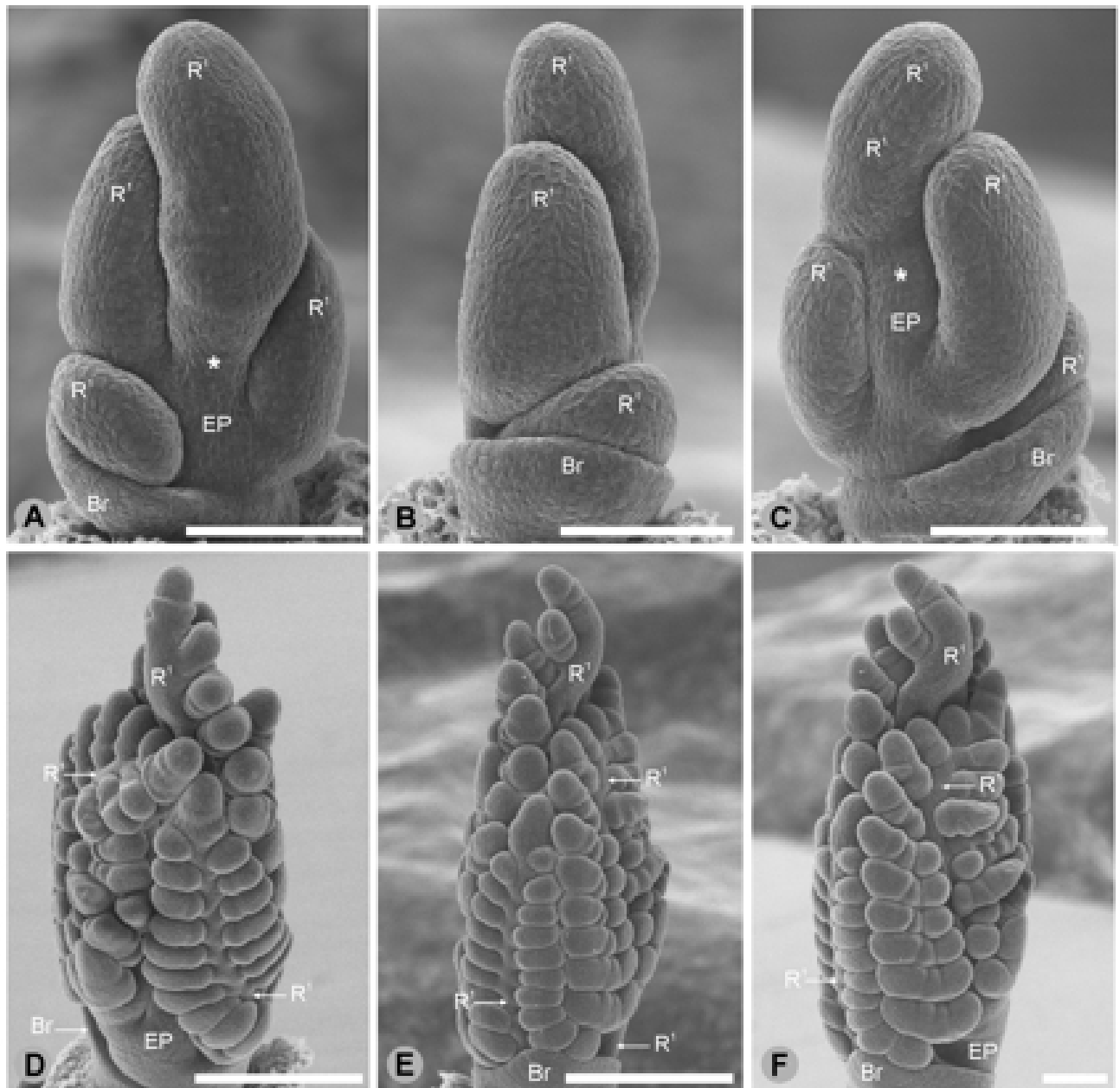


Figura 59.- Fotomicrografía electrónica de barrido de la simetría radiada de la UIF de *Eriochloa punctata*. A-C, tres vistas diferentes de la misma UIF en estados tempranos del desarrollo del sistema de ramificación de la UIF. D-F, tres vistas diferentes de la misma UIF en la etapa de iniciación de las espiguillas. Referencias: Br, bráctea; EP, eje principal; R', rama de primer orden. El asterisco blanco representa la ausencia de florescencia principal sobre el extremo distal del eje principal. Barra = 100 μ m.

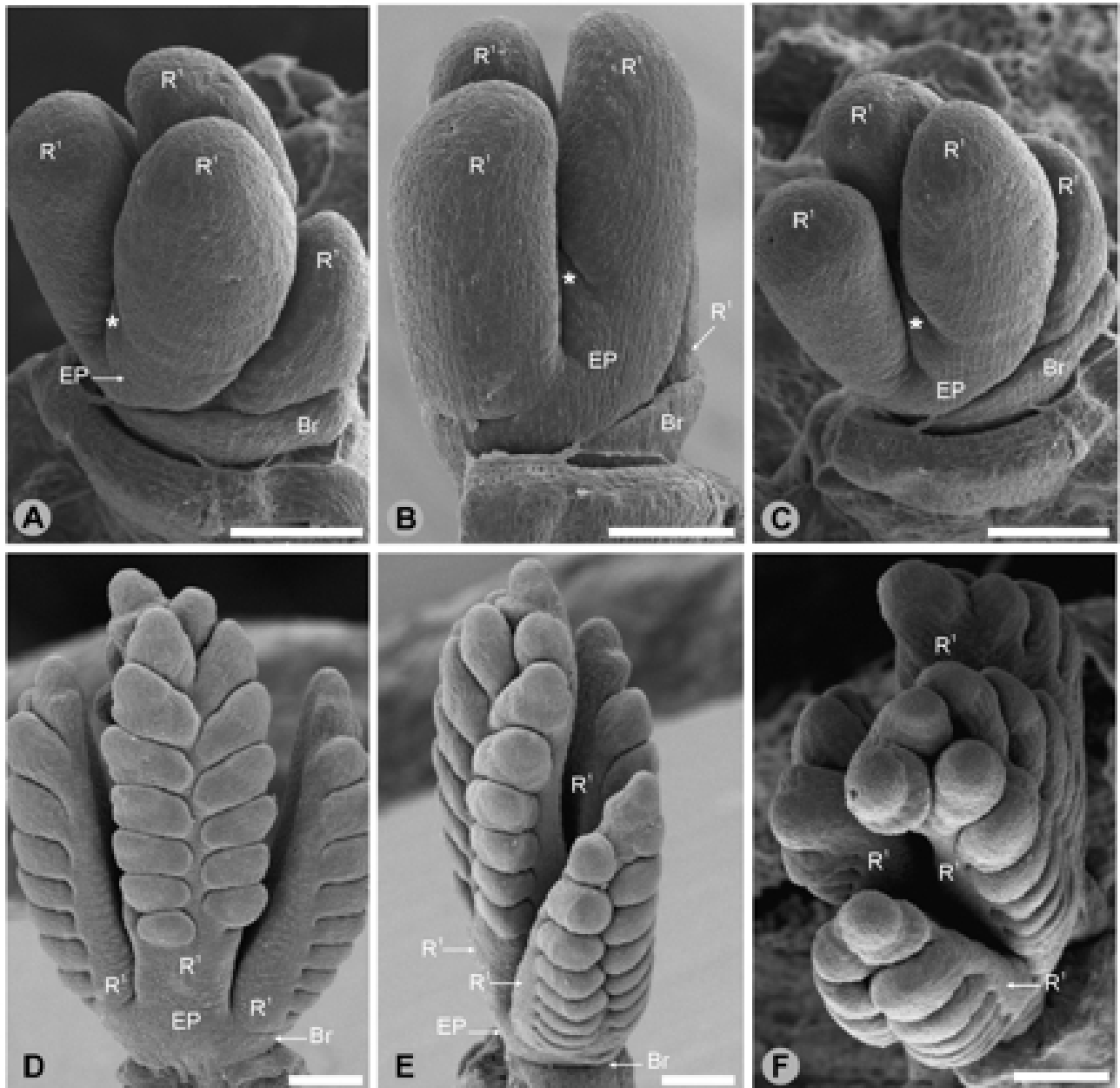


Figura 60.- Fotomicrografía electrónica de barrido de la simetría radiada de la UIF de *Urochloa lita*. A-C, tres vistas diferentes de la misma UIF en estados tempranos del desarrollo del sistema de ramificación de la UIF. D-F, tres vistas diferentes de la misma UIF en la etapa de iniciación de las coflorescencias. Referencias: Br, bráctea; EP, eje principal; R', rama de primer orden. El asterisco blanco representa la ausencia de florescencia principal sobre el extremo distal del eje principal. Barra = 100 μ m.

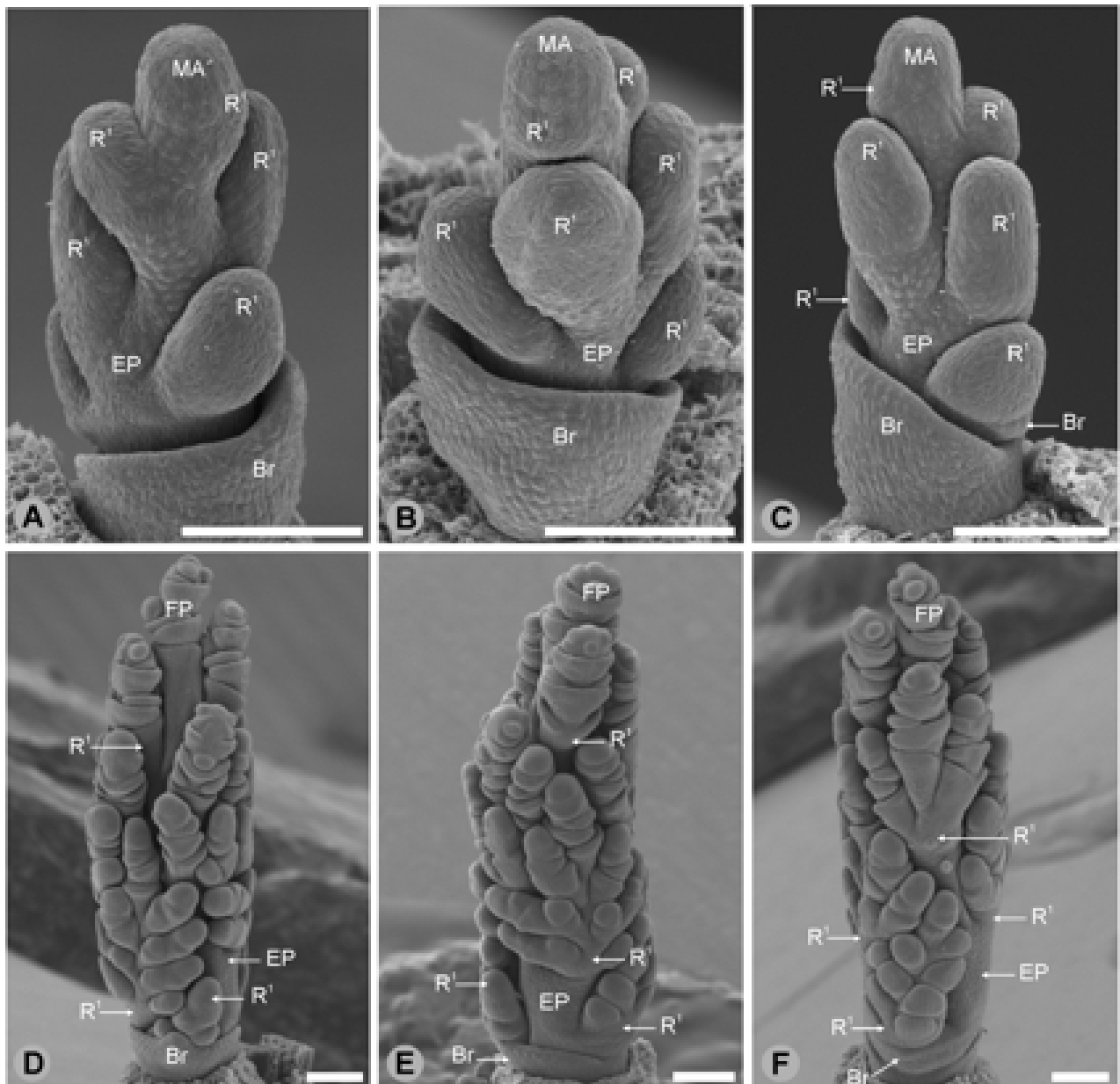


Figura 61.- Fotomicrografía electrónica de barrido de la simetría radiada de la UIF de *Urochloa leucicrantha*. A-C, tres vistas diferentes de la misma UIF en estados tempranos del desarrollo del sistema de ramificación de la UIF. D-F, tres vistas diferentes de la misma UIF en la etapa de desarrollo floral. Referencias: Br, bráctea; EP, eje principal; FP, florescencia principal; MA, meristema apical; R', rama de primer orden. Barra = 100 μ m.

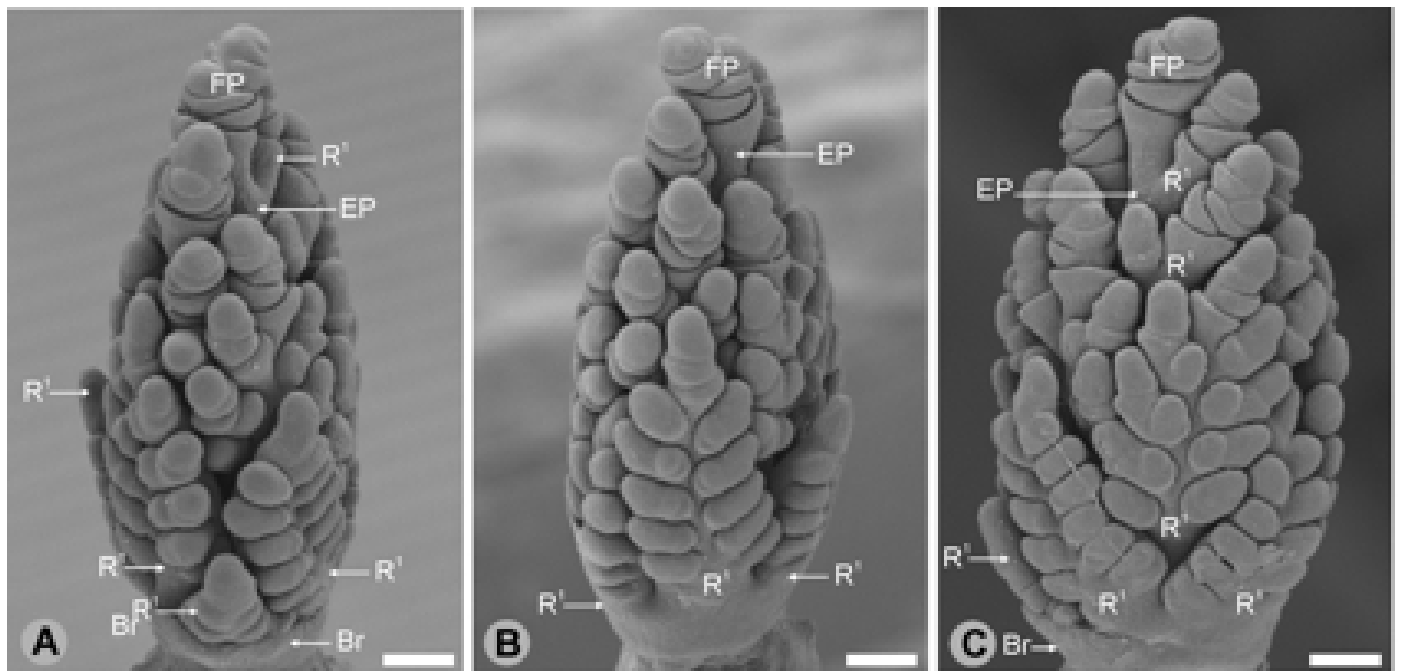


Figura 62.- Fotomicrografía electrónica de barrido de la simetría radiada de la UIF de *Urochloa lorentziana*. A-C, tres vistas diferentes de la misma UIF en estados tempranos del desarrollo del sistema de ramificación de la UIF. Referencias: Br, bráctea; EP, eje principal; FP, florescencia principal; R', rama de primer orden. Barra = 100 μ m.

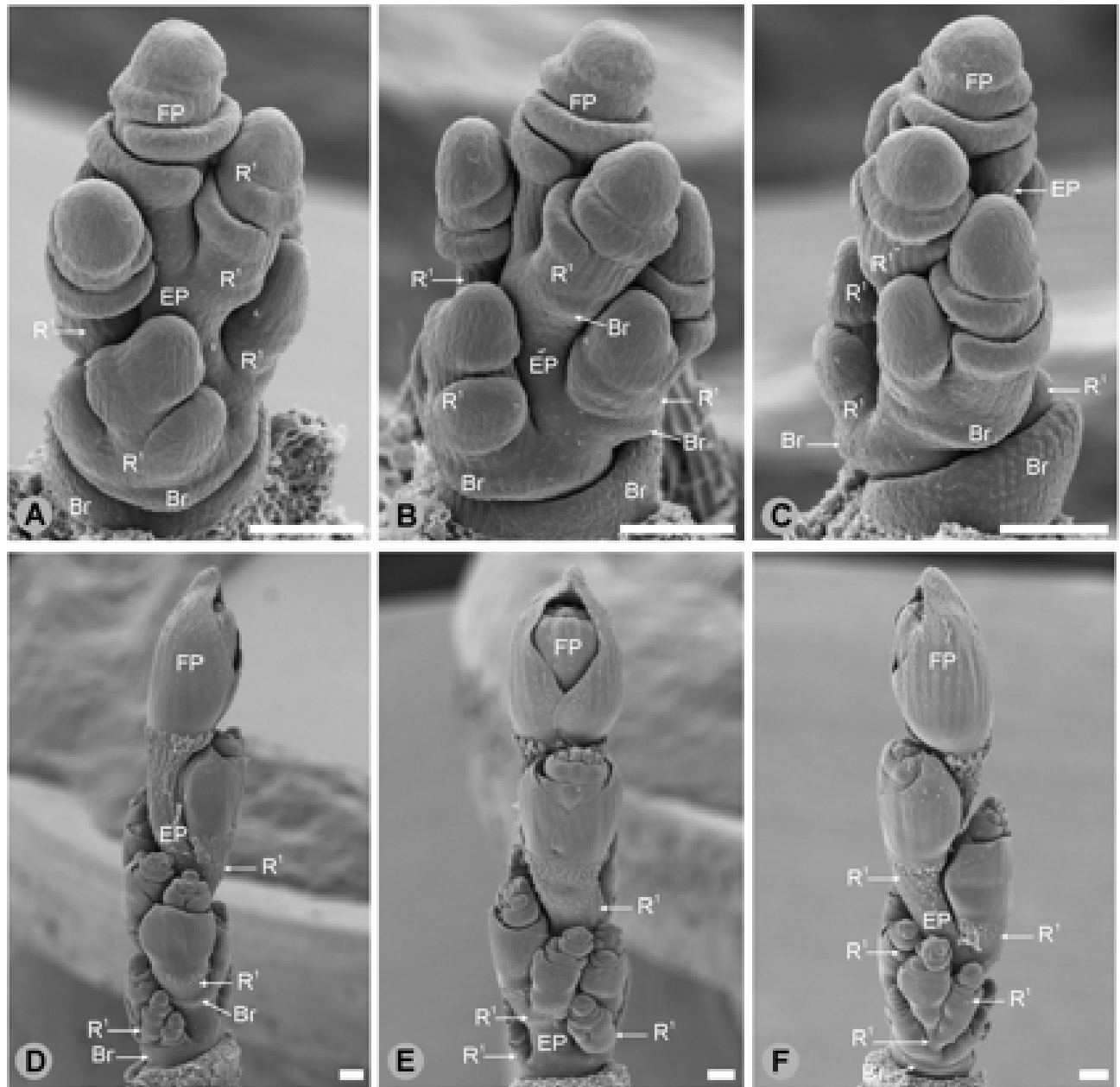


Figura 63.- Fotomicrografía electrónica de barrido de la simetría radiada de la UIF de *Urochloa paniculata*. A-C, tres vistas diferentes de la misma UIF en estados tempranos del desarrollo del sistema de ramificación de la UIF. D-F, tres vistas diferentes de la misma UIF en la etapa de desarrollo floral. Referencias: Br, bráctea; EP, eje principal; FP, florescencia principal; MA, meristema apical; R', rama de primer orden. Barra = 100 μm.

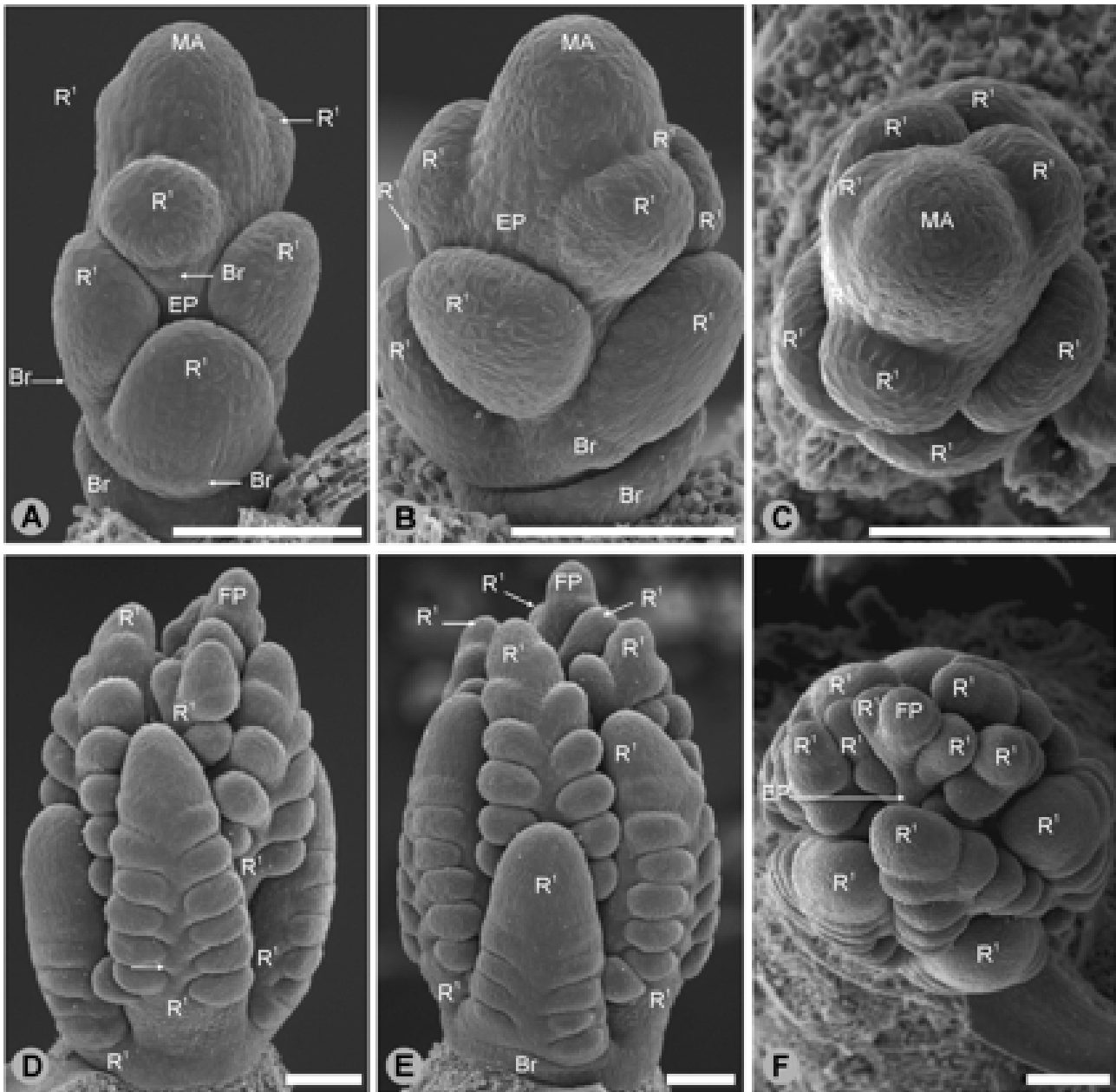


Figura 64.- Microfotografía electrónica de barrido de la simetría radiada de la UIF de *Urochloa xantholeuca*. A-C, tres vistas diferentes de la misma UIF en estados tempranos del desarrollo del sistema de ramificación de la UIF. D-F, tres vistas diferentes de la misma UIF en la etapa de iniciación de la florescencia principal. Referencias: Br, bráctea; EP, eje principal; FP, florescencia principal; MA, meristema apical; R', rama de primer orden. Barra = 100 μ m.

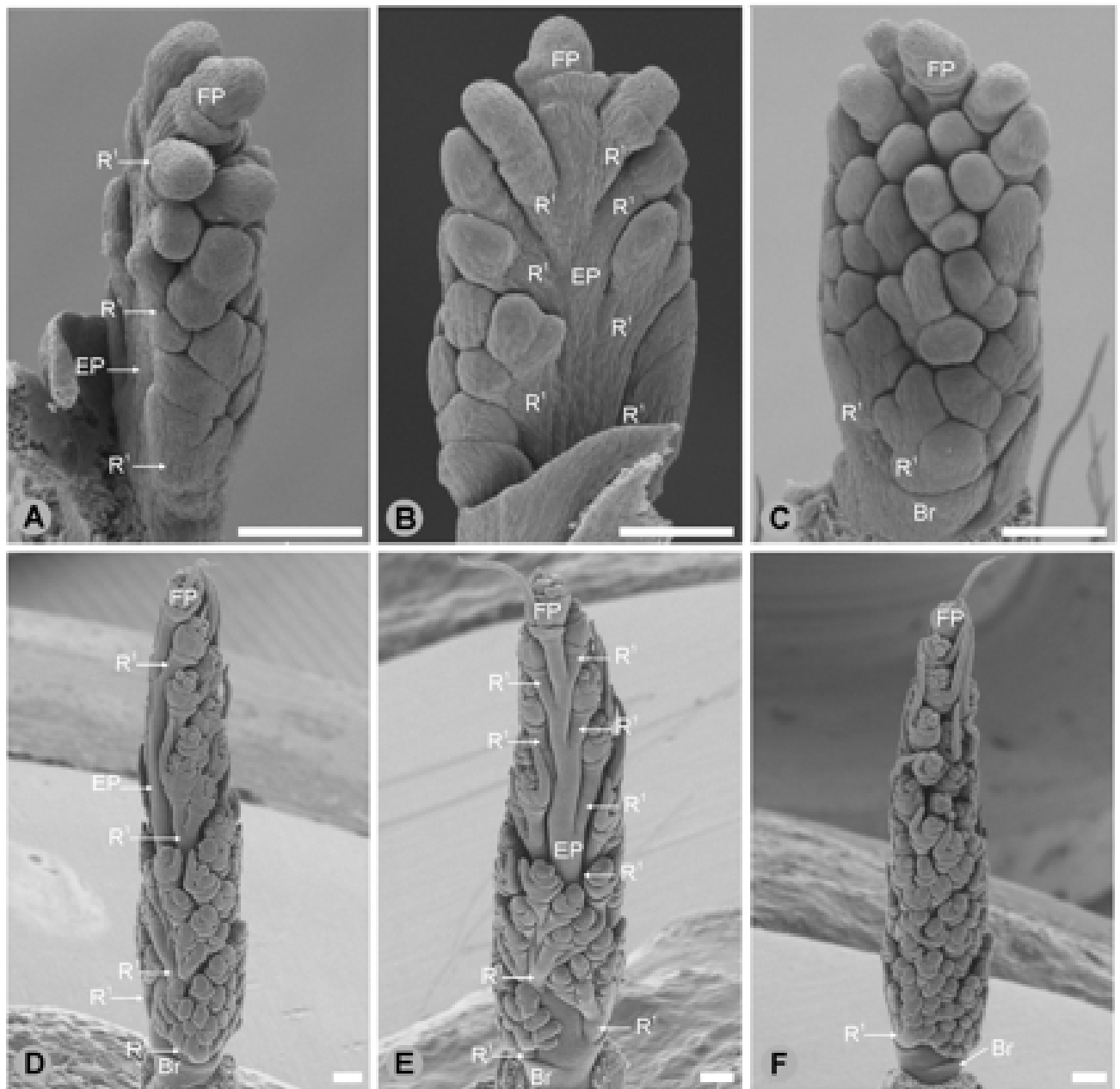


Figura 65.- Fotomicrografía electrónica de barrido de la simetría dorsiventral de la UIF de *Melinis minutiflora*. A-C, vista lateral, dorsal y ventral de la misma UIF en estados tempranos del desarrollo del sistema de ramificación de la UIF. D-F, vista lateral, dorsal y ventral de la misma UIF con falsa simetría radiada en la etapa de desarrollo floral. **Referencias:** Br, bráctea; EP, eje principal; FP, florescencia principal; R', rama de primer orden. Barra = 100 μ m.

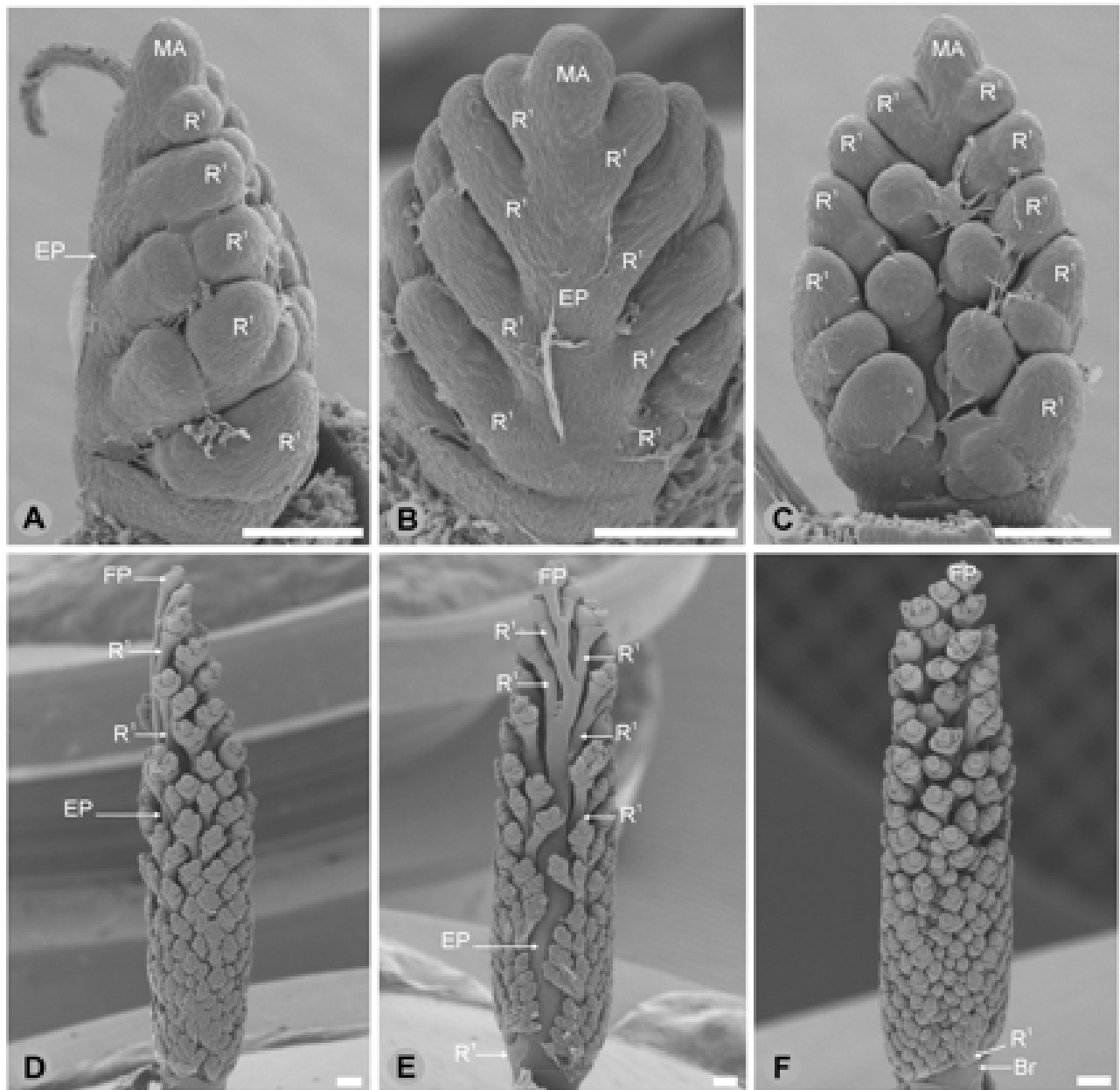


Figura 66.- Fotomicrografía electrónica de barrido de la simetría dorsiventral de la UIF de *Melinis repens*. A-C, vista lateral, dorsal y ventral de la misma UIF en estados tempranos del desarrollo del sistema de ramificación de la UIF. D-F, vista lateral, dorsal y ventral de la misma UIF con falsa simetría radiada en la etapa de desarrollo floral. Referencias: Br, bráctea; EP, eje principal; FP, florescencia principal; MA, meristema apical; R¹, rama de primer orden. Barra = 100 μ m.

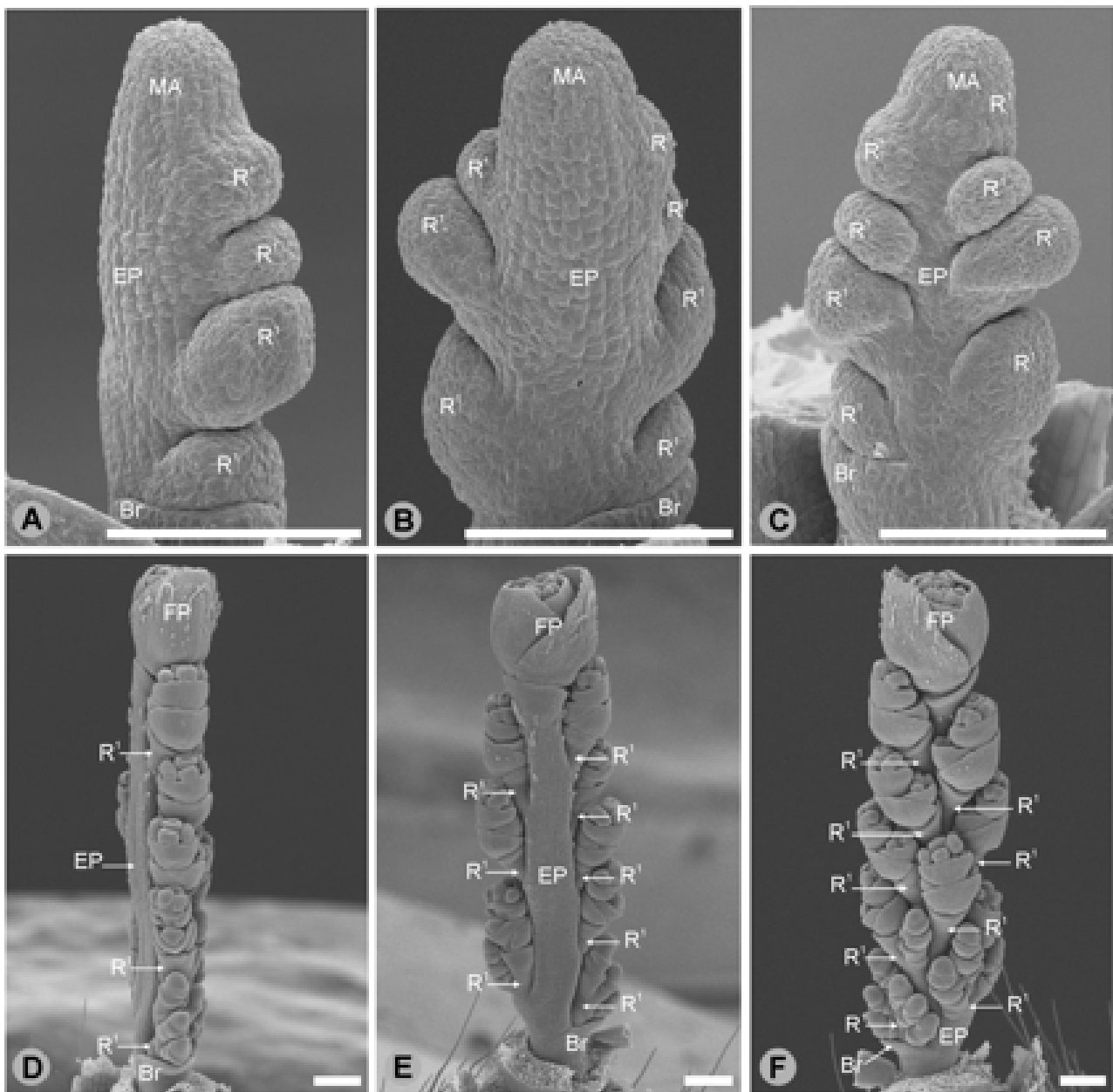


Figura 67.- Fotomicrografía electrónica de barrido de la simetría dorsiventral de la UIF de *Bracharia cruciformis*. A-C, vista lateral, dorsal y ventral de la misma UIF en estados tempranos del desarrollo del sistema de ramificación de la UIF. D-F, vista lateral, dorsal y ventral de la misma UIF en la etapa de desarrollo floral. Referencias: Br, bráctea; EP, eje principal; FP, florescencia principal; MA, meristema apical; R', rama de primer orden. Barra = 100 μ m.

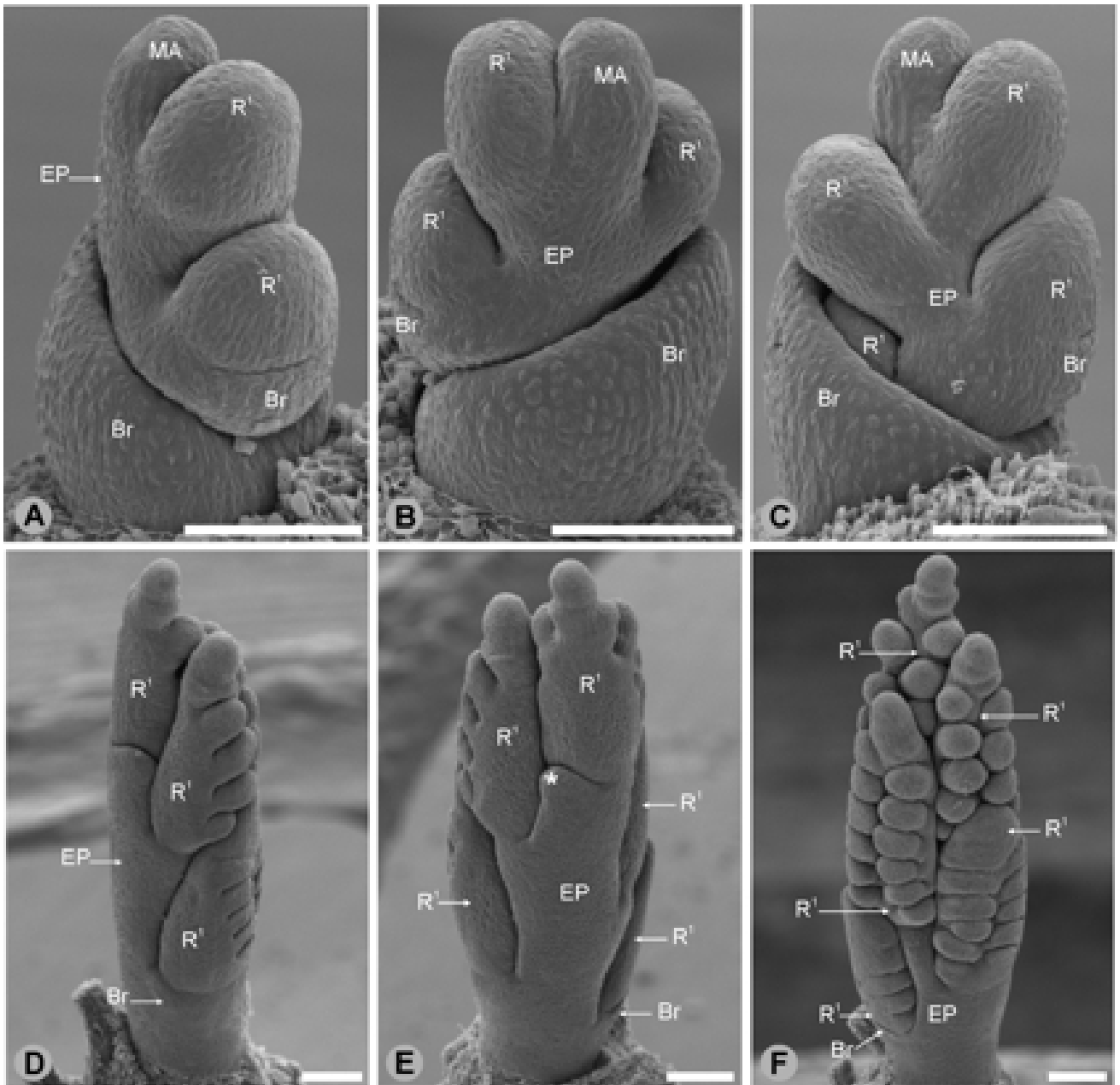


Figura 68.- Fotomicrografía electrónica de barrido de la simetría dorsiventral de la UIF de *Urochloa jubata*. A-C, vista lateral, dorsal y ventral de la misma UIF en estados tempranos del desarrollo del sistema de ramificación de la UIF. D-F, vista lateral, dorsal y ventral de la misma UIF en la etapa de desarrollo floral. Referencias: Br, bráctea; EP, eje principal; MA, meristema apical; R', rama de primer orden. El asterisco blanco representa la ausencia de florescencia principal sobre el extremo distal del eje principal. Barra = 100 μ m.

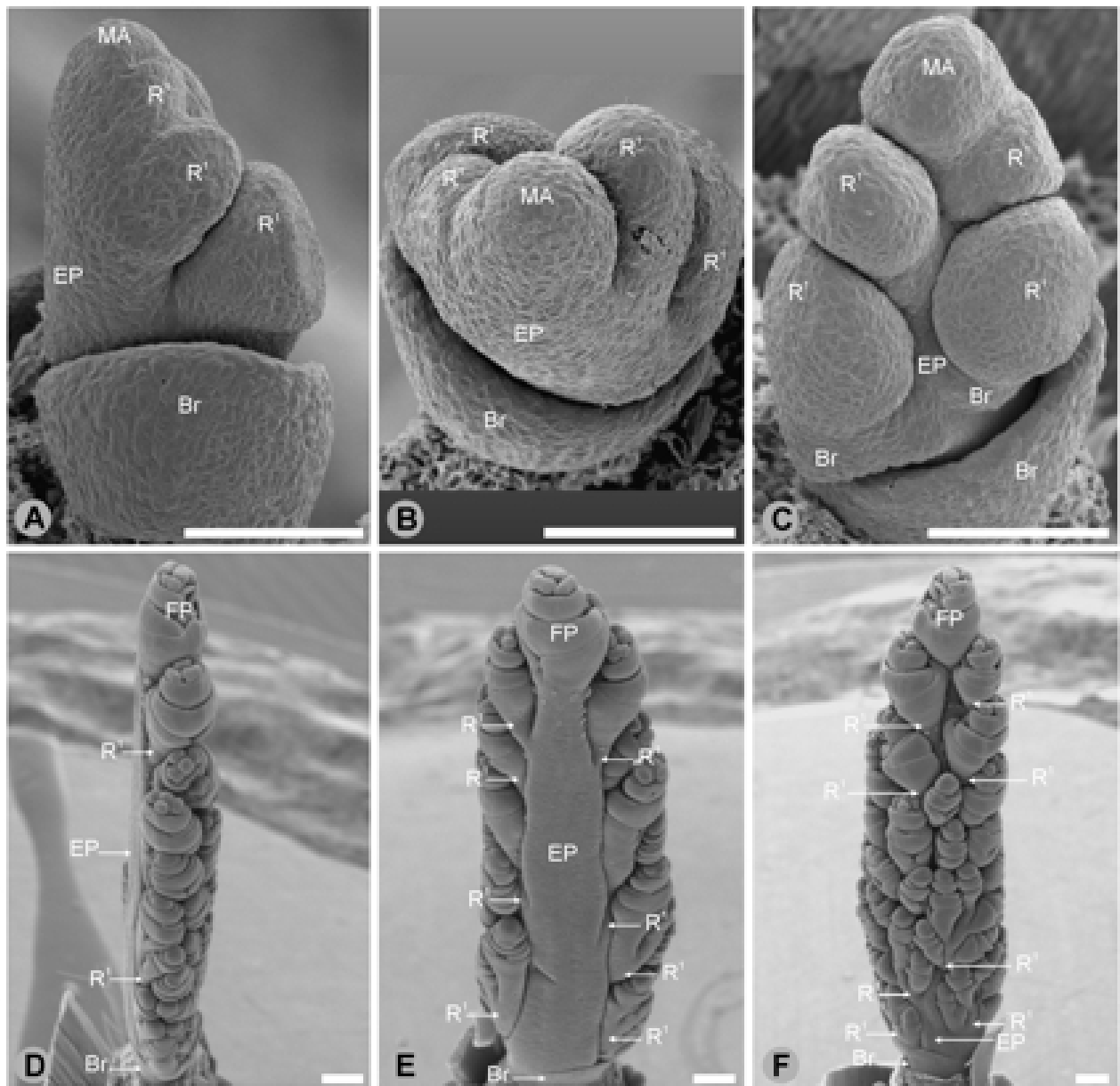


Figura 69.- Fotomicrografía electrónica de barrido de la simetría dorsiventral de la UIF de *Urochloa mollis*. A-C, vista lateral, dorsal y ventral de la misma UIF en estados tempranos del desarrollo del sistema de ramificación de la UIF. D-F, vista lateral, dorsal y ventral de la misma UIF en la etapa de desarrollo floral. Referencias: Br, bráctea; EP, eje principal; FP, florescencia principal; MA, meristema apical; R', rama de primer orden. Barra = 100 μ m.

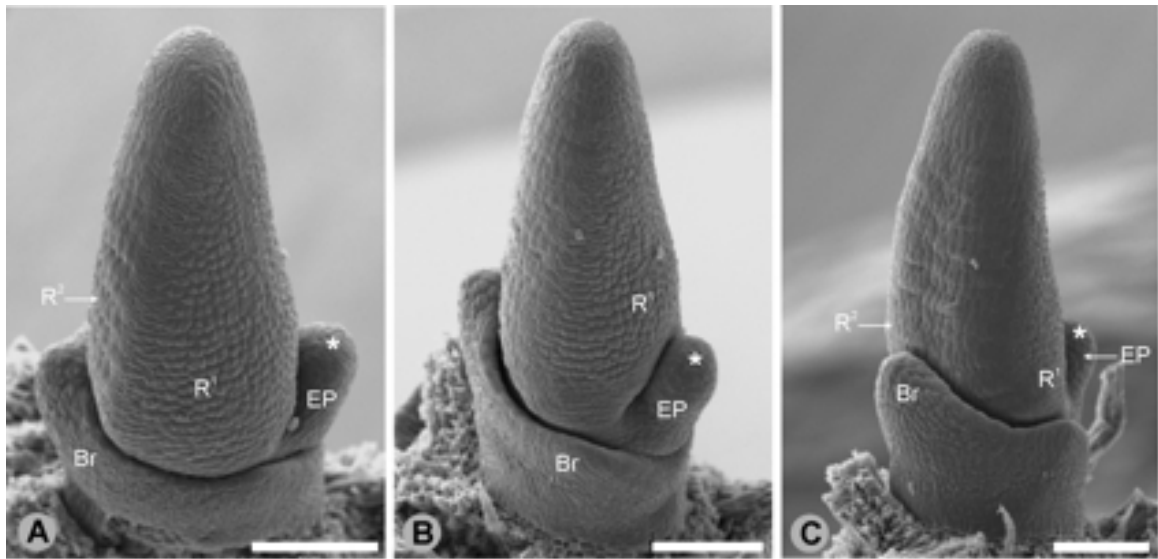


Figura 70.- Fotomicrografía electrónica de barrido de la simetría de la UIF de *Urochloa bovonei*. A-C, vista lateral, dorsal y ventral de la misma UIF en estados tempranos del desarrollo del sistema de ramificación de la UIF. Referencias: Br, bráctea; EP, eje principal; R¹, rama de primer orden. El asterisco blanco representa la ausencia de florescencia principal sobre el extremo distal del eje principal. Barra = 100 μ m.

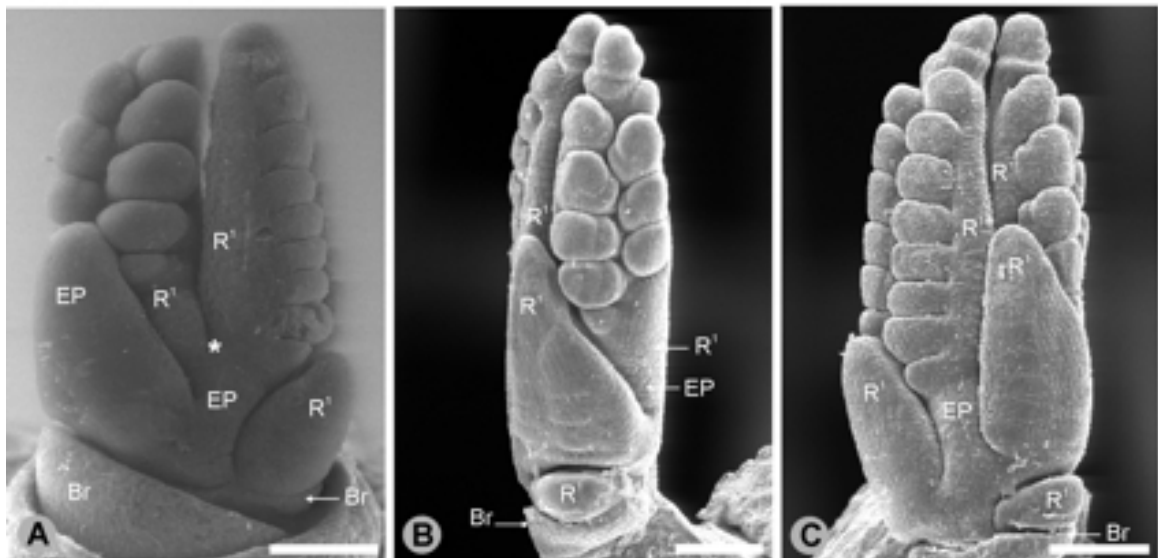


Figura 71.- Fotomicrografía electrónica de barrido de la simetría bilateral y dorsiventral de la UIF de *Urochloa platyphylla*. A, UIF con simetría bilateral; B-C, vista lateral y ventral de la misma UIF con simetría dorsiventral. Referencias: Br, bráctea; EP, eje principal; R¹, rama de primer orden. El asterisco blanco representa la ausencia de florescencia principal sobre el extremo distal del eje principal. Barra = 100 μ m.

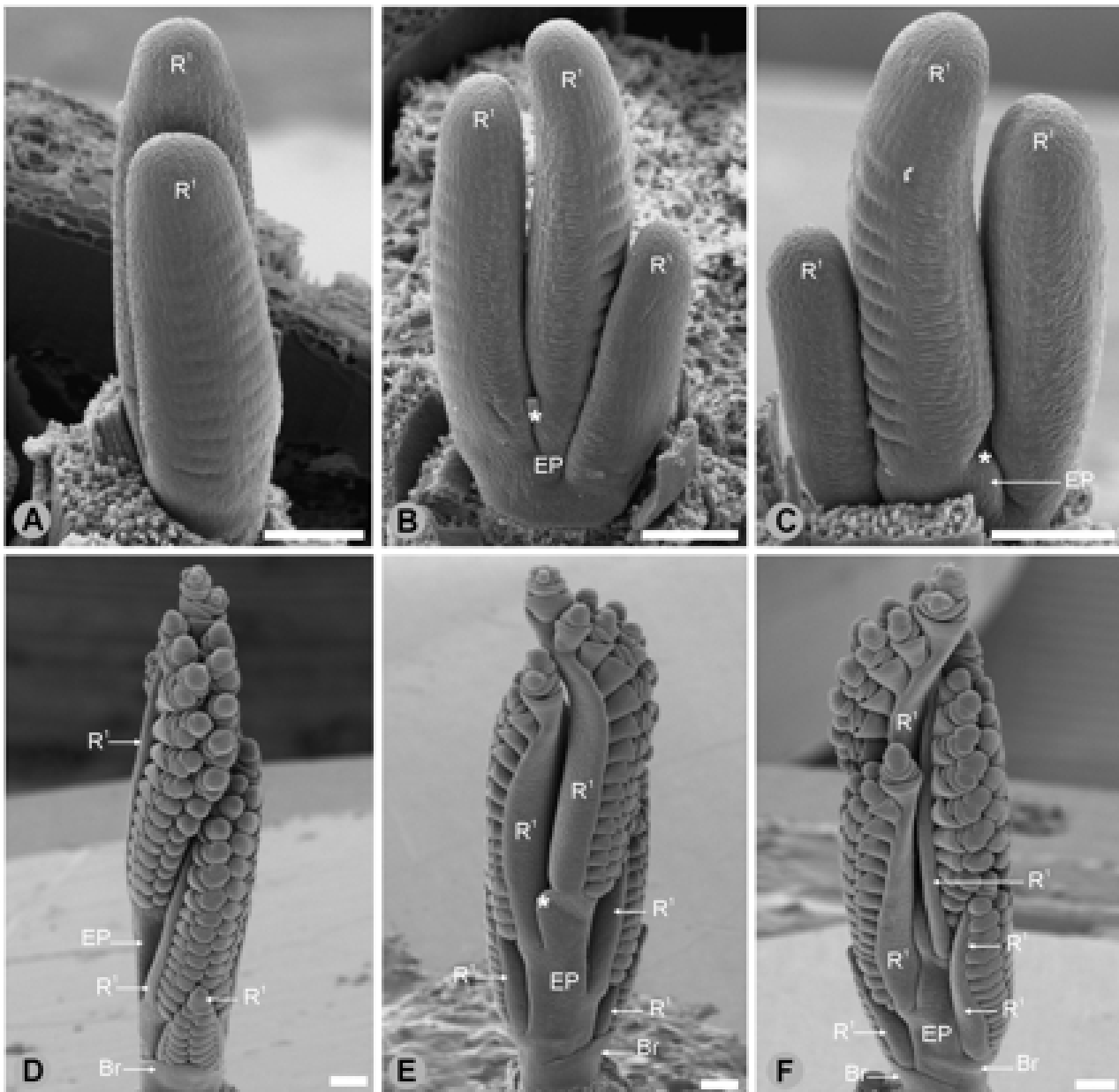


Figura 72.- Fotomicrografía electrónica de barrido de la simetría bilateral y dorsiventral de la UIF de *Urochloa mosambicensis*. A-C, vista lateral, dorsal y ventral de la misma UIF con simetría bilateral en estados tempranos del desarrollo del sistema de ramificación de la UIF. D-F, vista lateral, dorsal y ventral de la misma UIF con simetría dorsiventral en la etapa de desarrollo floral. Referencias: Br, bráctea; EP, eje principal; R', rama de primer orden. El asterisco blanco representa la ausencia de florescencia principal sobre el extremo distal del eje principal. Barra = 100 μ m.

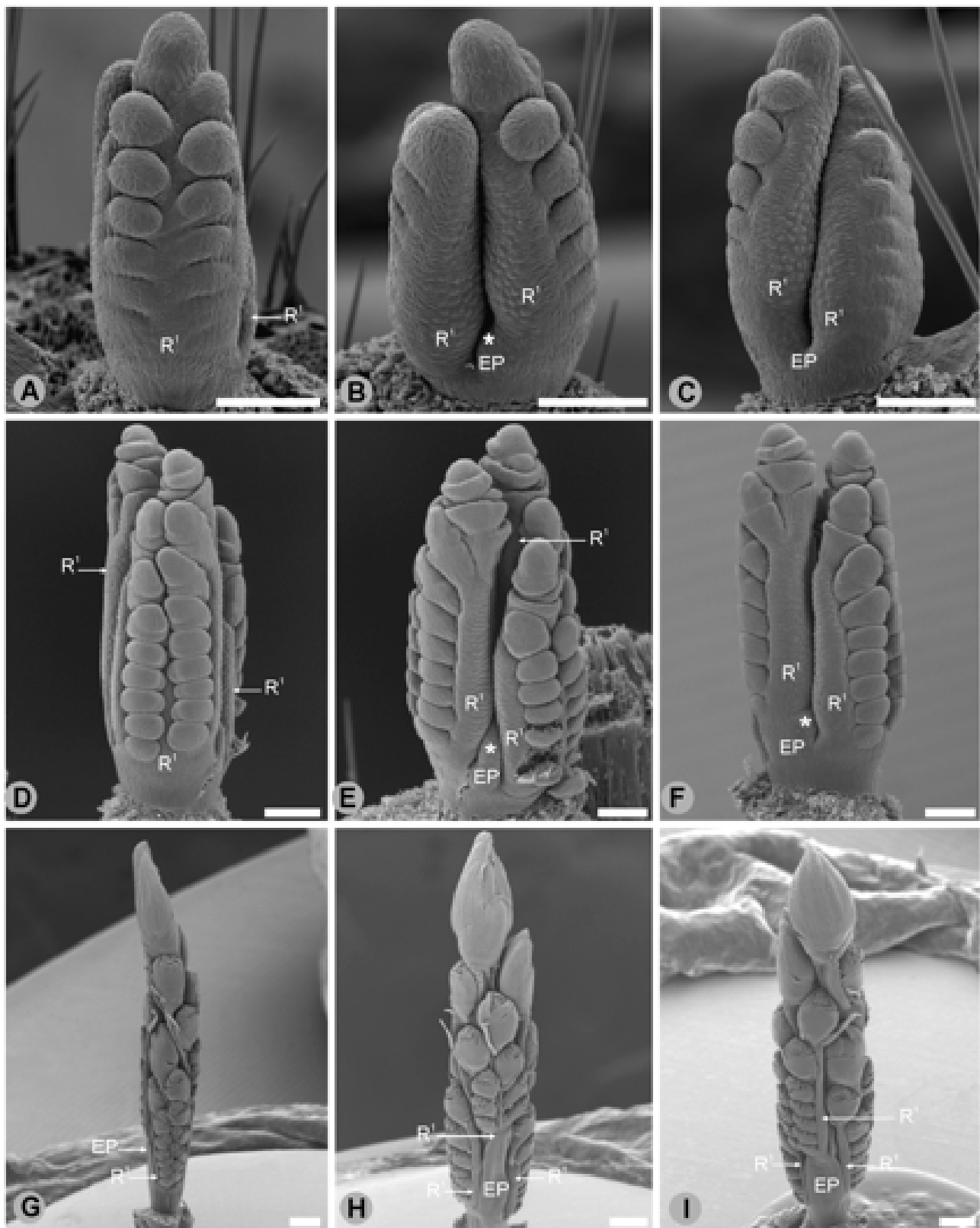


Figura 73.- Fotomicrografía electrónica de barrido de las simetrías de la UIF de *Urochloa panicoides*. A-C, vista lateral, dorsal y ventral de la misma UIF con simetría bilateral en estados tempranos del desarrollo del sistema de ramificación de la UIF. D-F, vista lateral, dorsal y ventral de la misma UIF con simetría dorsiventral. G-I, tres vistas diferentes de la misma UIF con simetría radiada. Referencias: Br, bráctea; EP, eje principal; R', rama de primer orden. El asterisco blanco representa la ausencia de florescencia principal sobre el extremo distal del eje principal. Barra = 100 μ m.

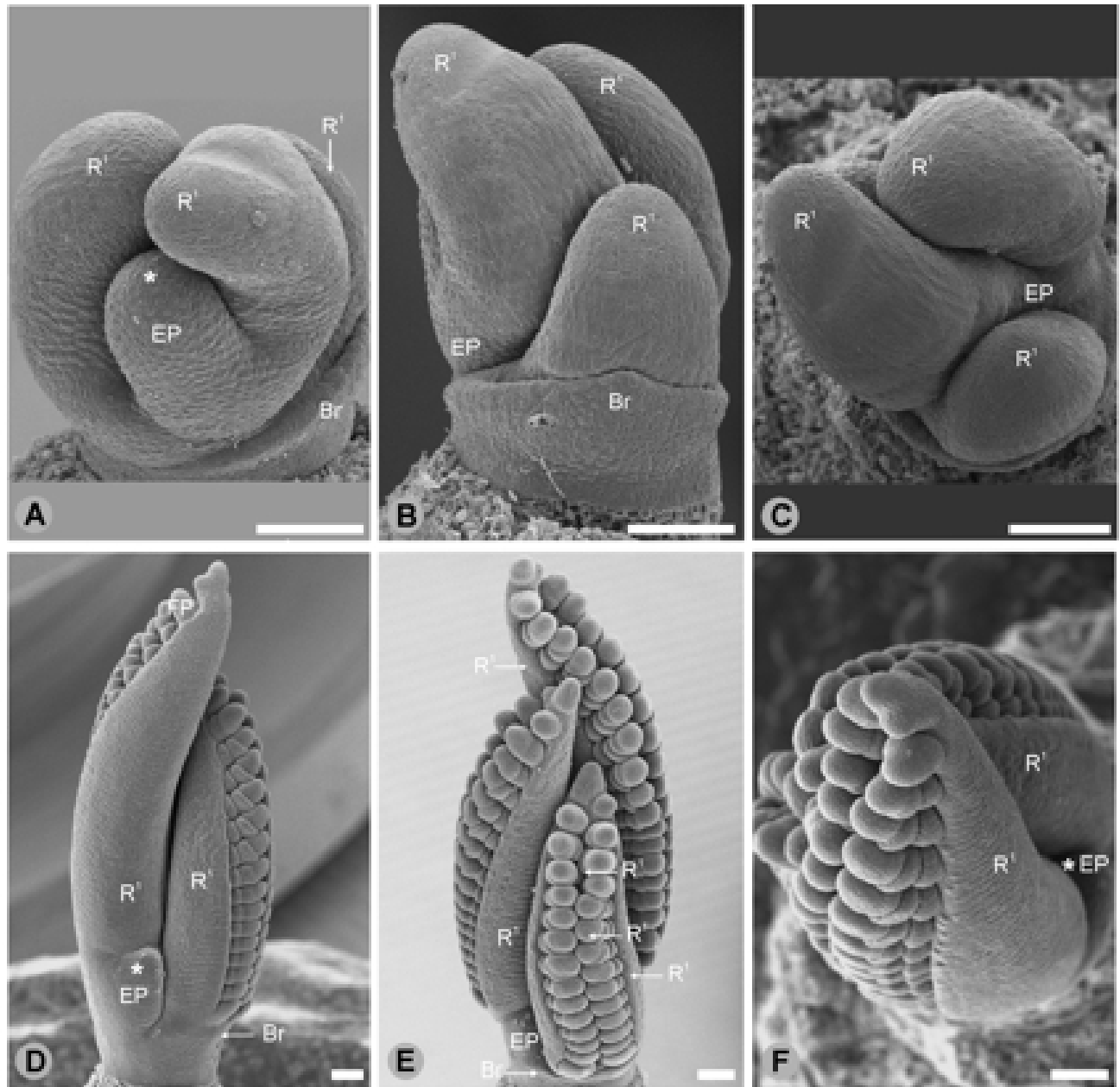


Figura 74.- Fotomicrografía electrónica de barrido de la simetría dorsiventral de la UIF de *Urochloa ruziziensis*. A-C, vista dorsal, lateral y ventral de la misma UIF en estados tempranos del desarrollo del sistema de ramificación de la UIF. D-F, vista dorsal, ventral y lateral de la misma UIF en la etapa de iniciación de las espiguillas. Referencias: Br, bráctea; EP, eje principal; R', rama de primer orden. El asterisco blanco representa la ausencia de florescencia principal sobre el extremo distal del eje principal. Barra = 100 μm.

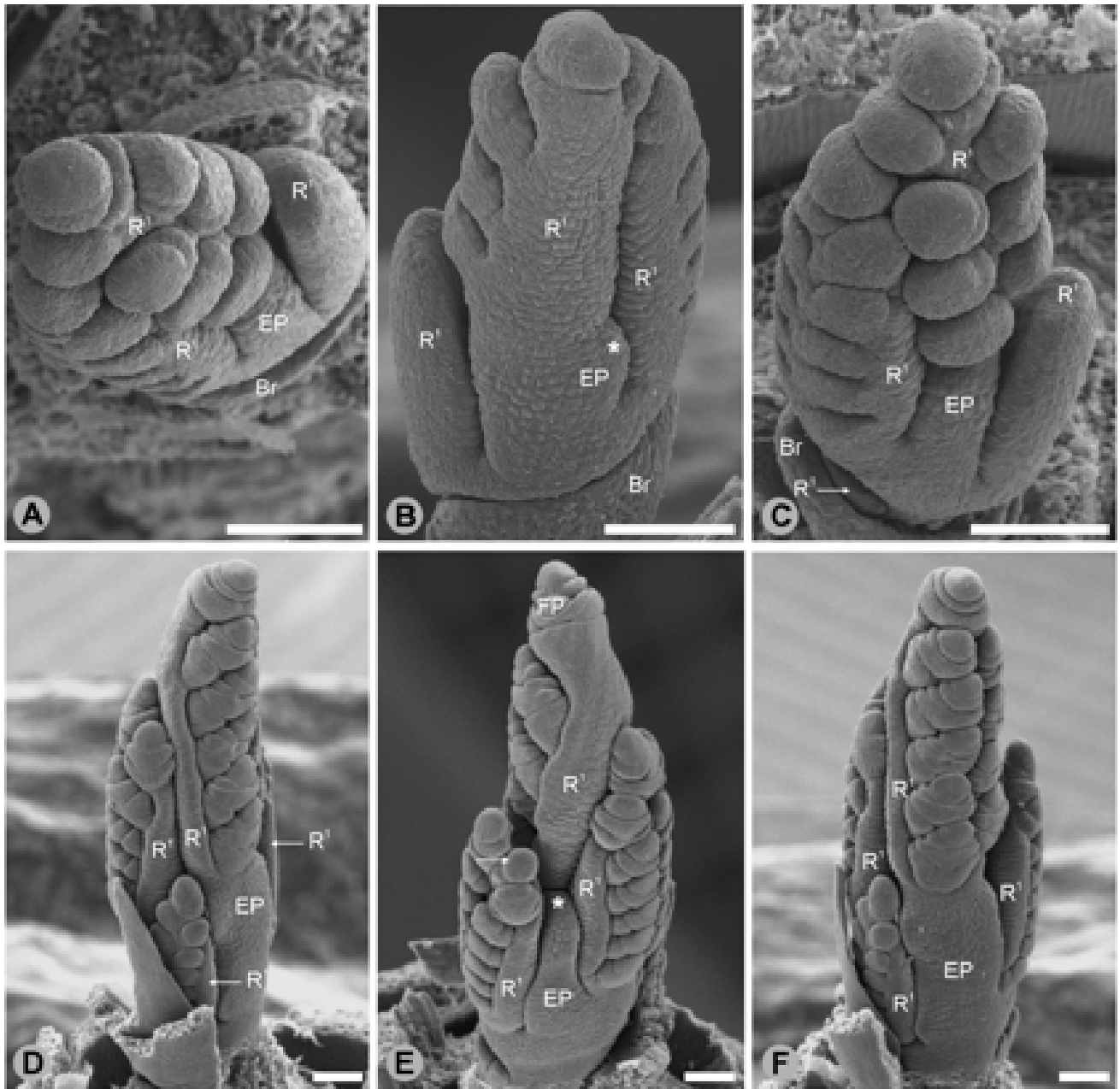


Figura 75.- Fotomicrografía electrónica de barrido de la simetría dorsiventral de la UIF de *Urochloa distachya*. A-C, vista lateral, dorsal y ventral de la misma UIF en estados tempranos del desarrollo del sistema de ramificación de la UIF. D-F, vista lateral, dorsal y ventral de la misma UIF en la etapa de iniciación de las espiguillas. Referencias: Br, bráctea; EP, eje principal; R', rama de primer orden. El asterisco blanco representa la ausencia de florescencia principal sobre el extremo distal del eje principal. Barra = 100 μ m.

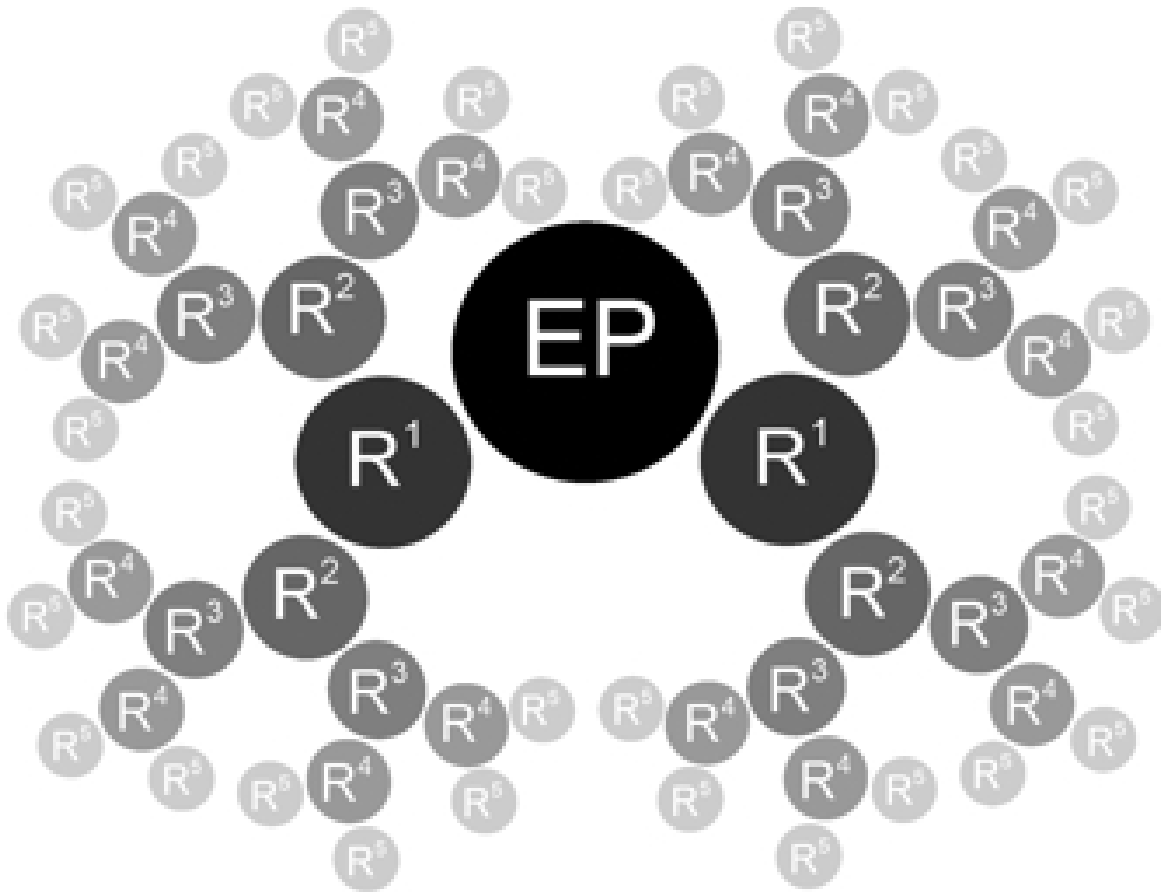


Figura 76.- Esquema de un corte transversal de la UIF de *Melinis* con falsa simetría radiada resultado de la disposición dística de las ramas sobre la cara abaxial de las ramificaciones que le dieron origen.
Referencias: EP; eje principal; R¹, rama de primer orden; R², rama de segundo orden; R³, rama de tercer orden; R⁴, rama de cuarto orden; R⁵, rama de quinto orden.